



MEDIDAS ELECTRÓNICAS II

Diseño y Construcción de Antena Double Ridge con impresora 3D

Autores:

Castro Germán, Diaz Alonso Manuel

1. Objetivos

Diseño y fabricación de una Antena Double Ridge mediante impresión 3D. La misma deberá cumplir con un S11 menor a -10db y una ganancia mayor a 10db en un ancho de banda de 8GHz a 18GHz

2. Técnica de diseño

Debido a la falta de información sobre este tipo de antena se realizó un diseño experimental en el cual se partió de una antena prototipo con todas sus variables parametrizadas. El diseño 3D se realizó mediante el Software SolidWorks® versión 2013 el cual posteriormente fue exportado a CST Microwave Studio® versión 2018 para realizar las simulaciones de campo electromagnético.

3. Diseños

3.1. Primer diseño

El diseño se realizó en primera instancia variando los parámetros de la antena. De esta manera se fue simulando y viendo el impacto de cada una de las variables, reduciendo así la cantidad de variables a considerar. Algunas de las variables más importantes a tener en cuenta fueron la relación de las longitudes de las paredes de la cavidad (REL), la distancia entre jorobas (GAP) y la distancia de la sonda al inicio de la cavidad (DISTANCIA) como se observa en la Figura (1). Además se debe asegurar que el conductor interno de la sonda se encuentre en cortocircuito de continua con la antena.

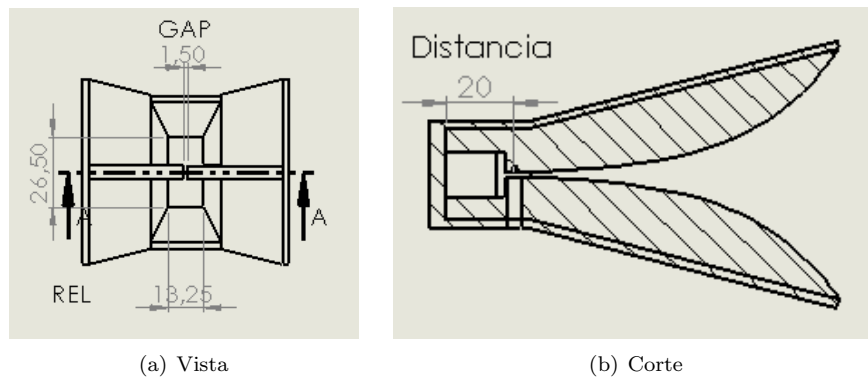
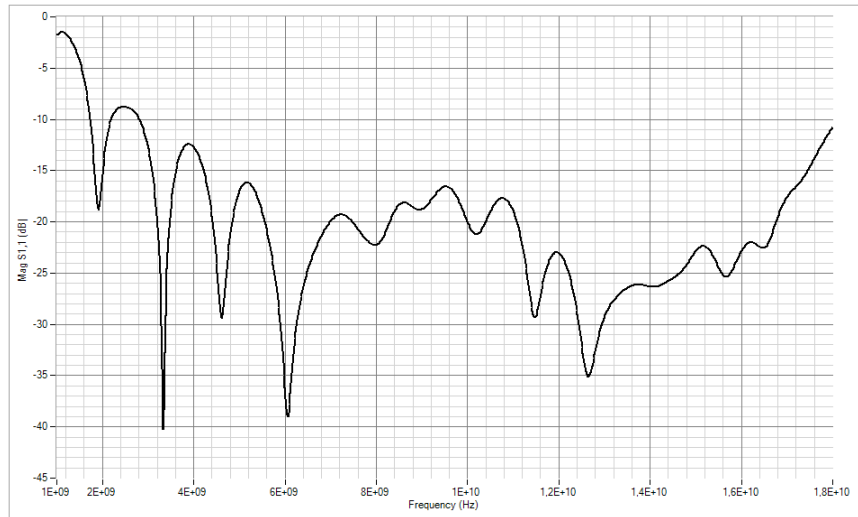
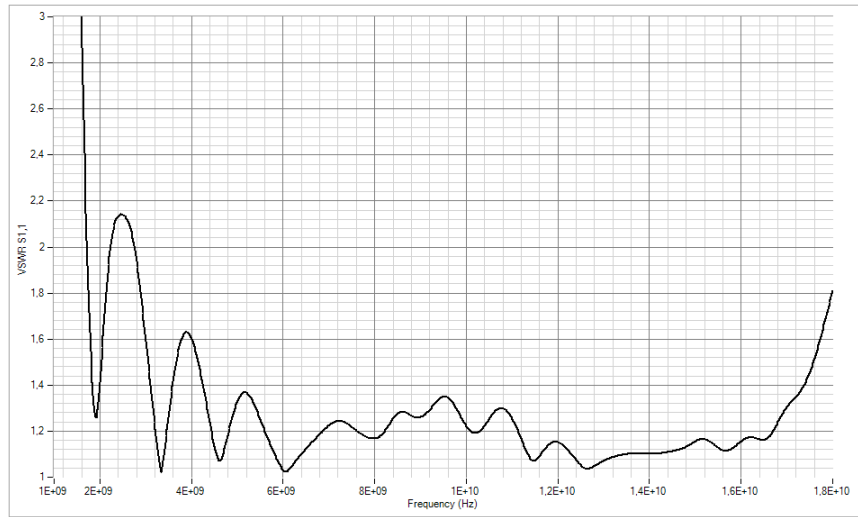


Figura 1: Variables más significativas

Una vez acotada la cantidad de variables se comenzó a variar los parámetros restantes para dar con las características deseadas. Como primer resultado se obtuvo una curva que lograba mantener su ROE por debajo de 2 en un rango de frecuencias mayor al esperado, de 2GHz a 18GHz Figura (2)



(a) S11



(b) ROE

Figura 2: Reflexión primer diseño

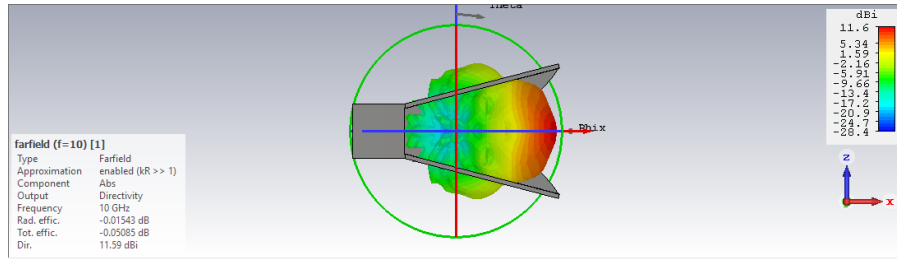


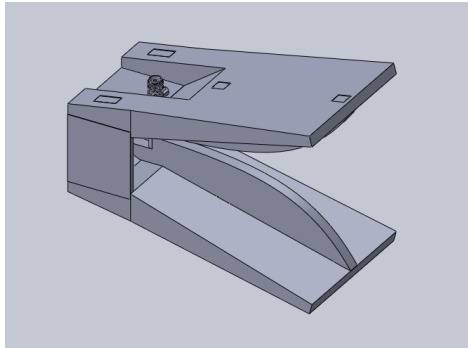
Figura 3: Simulación de campo lejano a 10GHz

3.2. Problemas del primer diseño

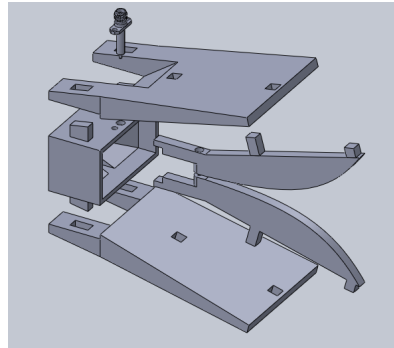
Tras haber realizado el primer diseño nos enfocamos en la fabricación de la antena y sus limitaciones. Para la fabricación era necesario imprimir la antena mediante una impresora 3D, encontrar un método para añadir conductividad a la antena y conseguir una sonda acorde para ésta. La primer gran limitación fue la precisión de la impresora 3D, en el primer diseño se escogieron espesores ideales los cuales no eran posibles fabricar con esta técnica. Además el diseño de la antena era en una pieza única lo cual condujo roturas durante el proceso de fabricación. La segunda limitación fue la selección de la sonda, Al buscar diferentes sondas nos encontramos con que los largos de dichas sondas eran estándar, esto impuso un tamaño máximo a la antena. La tercer limitación fue el proceso para depositar el material conductivo. Se debía escoger un proceso el cual pudiese obtener una buena capa de deposición lo más homogénea posible.

3.3. Segundo diseño

Para solucionar todos estos problemas se realizo un segundo diseño que contemplaba las limitaciones previas. Se escogió realizar el diseño en forma de piezas con encastre, eliminando así los problemas de la impresión 3D y facilitando el método de deposición de material conductivo. Figura (4).



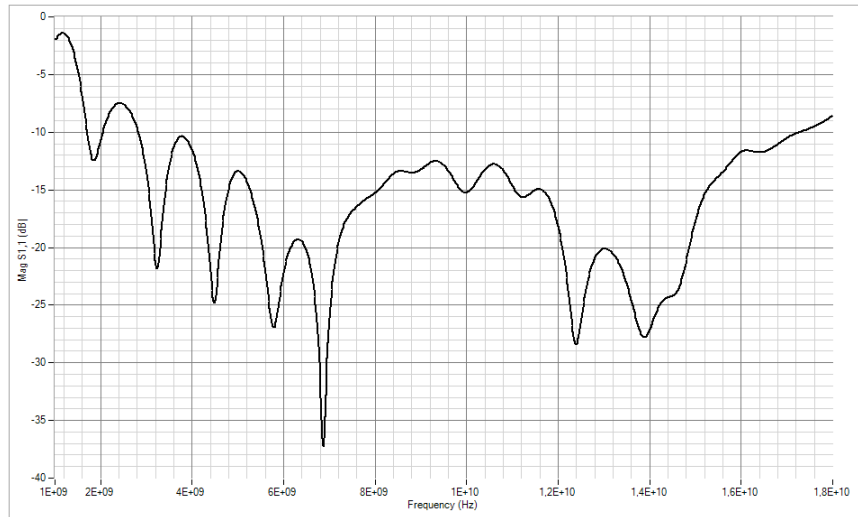
(a) Ensamble



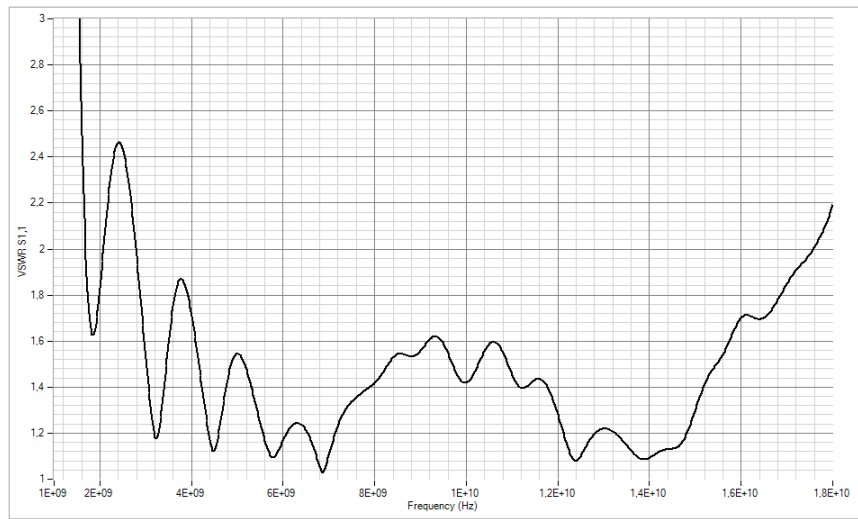
(b) Despiece

Figura 4: Antena segundo diseño

Ajustando los parámetros de la antena se llegó al resultado óptimo manteniendo la ROE por debajo de 2 de 2GHz A 18GHz. Figura (5)

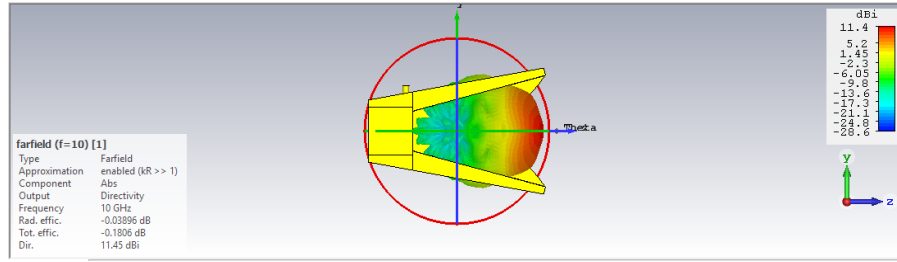


(a) S11

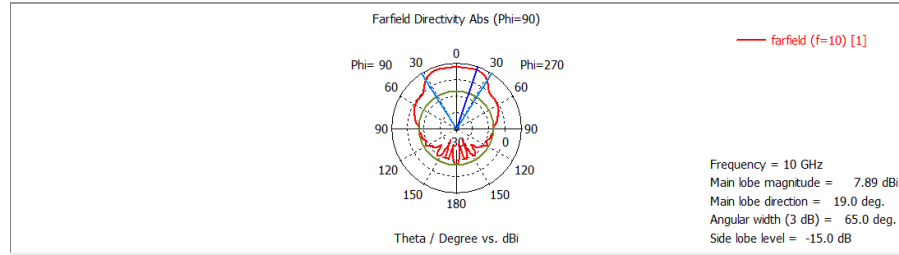


(b) ROE

Figura 5: Reflexión segundo diseño



(a) Radiación de campo lejano



(b) Diagrama polar

Figura 6: Simulación de campo lejano a 10GHz

Para este diseño que posteriormente fue fabricado se realizaron simulaciones de campo lejano para cada una de las frecuencias de interés dando como resultado la siguiente tabla.

Frecuencia[GHz]	Ganancia[dBi]	Ancho angular[deg]
1	2.09	151.3
2	5.52	94.5
3	7.74	64.7
4	9.46	45.9
5	10.90	36.5
6	11.70	34.4
7	12.90	30.7
8	10.80	24.9
9	4.64	76.3
10	7.89	65.0
11	10.30	54.6
12	12.80	45.0
13	14.00	33.9
14	9.86	47.8
15	7.46	16.2
16	7.03	68.9
17	14.60	18.3
18	15.70	18.4

4. Fabricación

Finalizado el proceso de diseño se imprimieron las 5 partes de la antena con un material de tipo ABS, luego se recubrió las piezas con pintura de plata para agregarles la conductividad necesaria. Una vez ensamblada la antena se inserto la sonda y se dispuso a las mediciones. Figura (7).

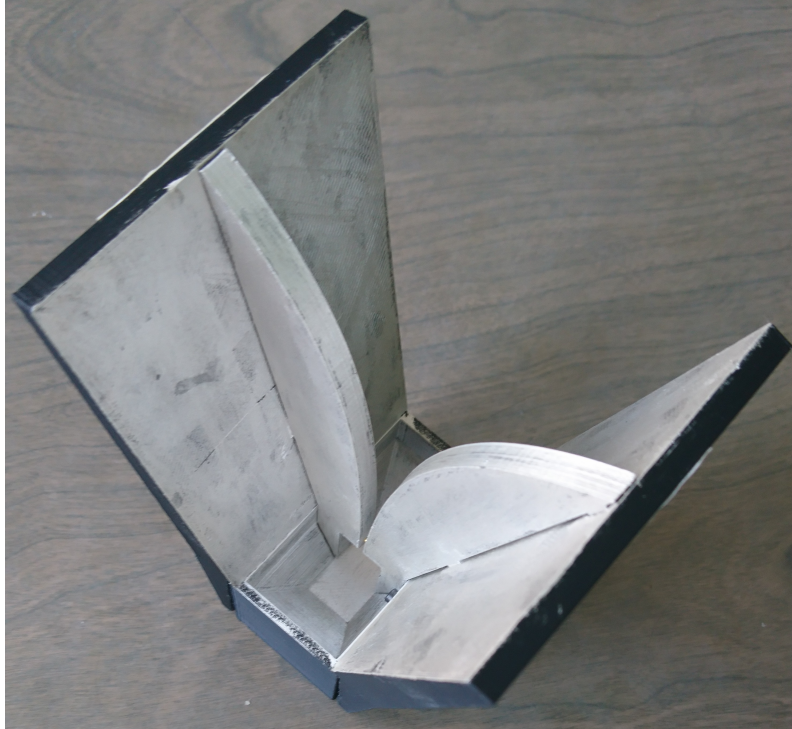


Figura 7: Antena finalizada

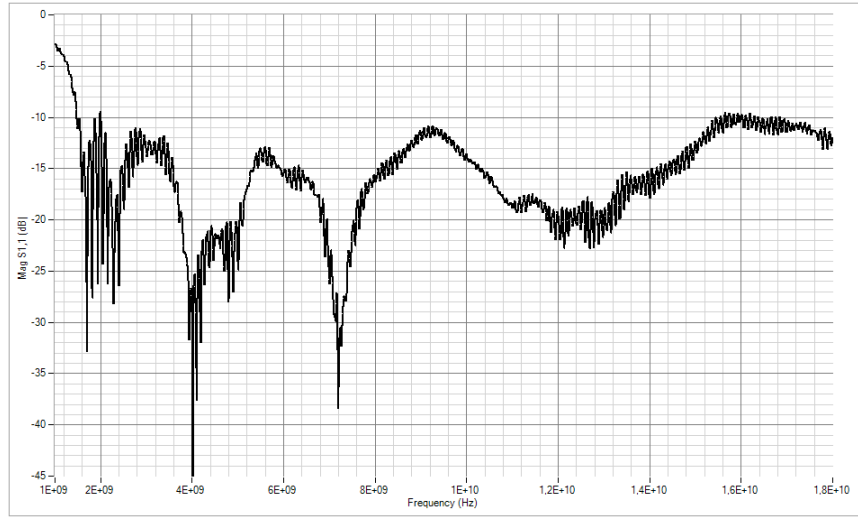
5. Mediciones

5.1. Calibración

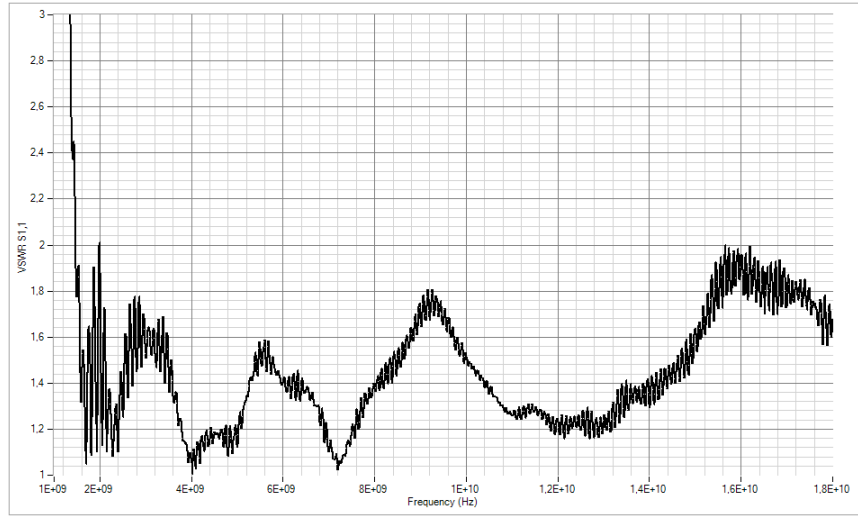
Las mediciones se realizaron con un analizador vectorial de redes (VNA). Éste se calibro para un rango de frecuencias de 1GHz a 18GHz mediante el método OSM a un puerto con el Kit de calibración 85518A KITSIGHT, una resolución de 1601 puntos, ancho de banda del filtro de 1Khz y una potencia de -15dbm.

5.2. Medición de reflexión

Se realizo la medición del parámetro s11 arrojando los siguientes resultados. Figura (8)



(a) S11



(b) ROE

Figura 8: Reflexión antenna fabricada

5.3. Medición de Transmisión

A modo de cierre se realizó un enlace entre las 2 antenas para comprobar la emisión de éstas. Se fabricó una segunda antena y se conectaron dichas antenas a los puertos 1 y 2 del analizador de redes vectoriales (VNA). Se enfrentaron las antenas a una distancia aproximada de 30cm y de esta manera se midieron los parámetros S21 y S12. Figura(9). Estos representaban la transmisión de cada

una de las antenas, siendo ambas curvas aproximadamente iguales.

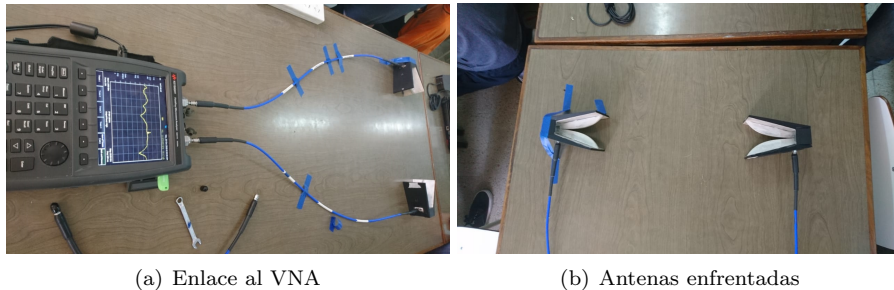


Figura 9: Enlace entre 2 antenas

Se realizaron 3 mediciones diferentes. La primer medición se hizo con un enlace directo entre las antenas (Enlace) es decir sin ningún obstáculo en medio, la siguiente se colocó entre ambas antenas una lamina de un material dieléctrico (Enlace-Dieléctrico) para ver el impacto de éste en la transmisión y por último se colocó una lamina de material conductor (Enlace-Corto). Figura (10)

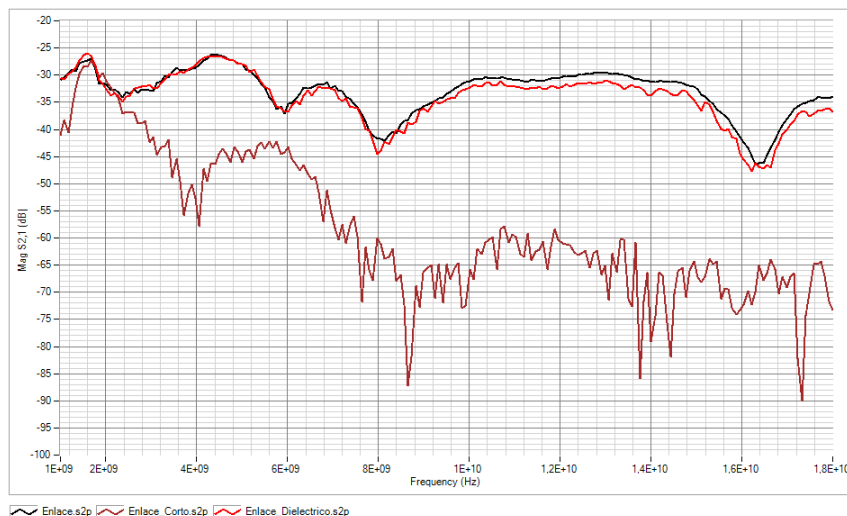


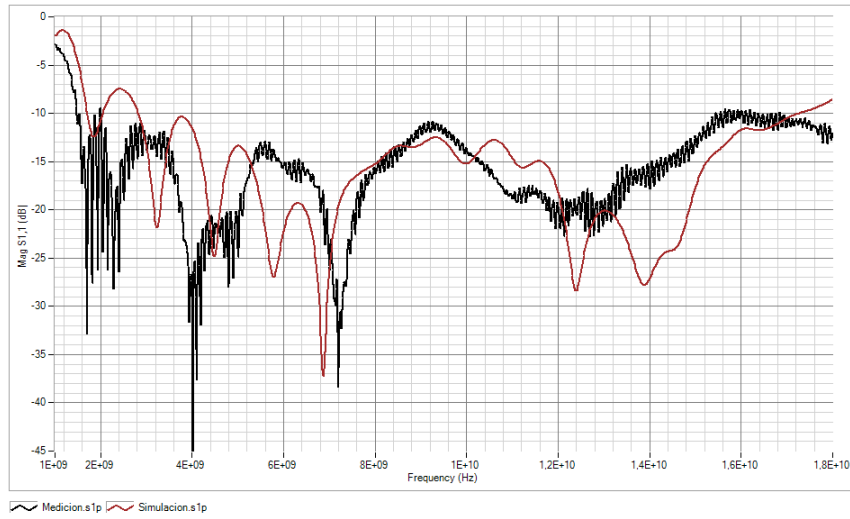
Figura 10: Transmisión de la antena

6. Resultados

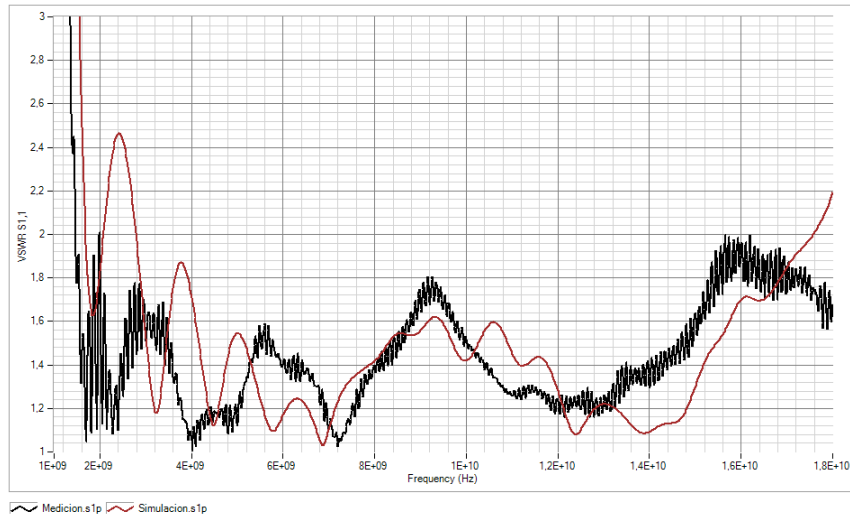
6.1. Análisis

Se logró obtener una antena de banda ancha entre las frecuencias de 2GHz a 18GHz donde su ROE es menor a 2. Desafortunadamente no pudimos comprobar

el lóbulo de radiación debido a la falta de equipamiento. En la siguiente Figura (11) se encuentra la comparación del parámetro de reflexión entre la simulación del segundo diseño y su fabricación. En este se puede observar ciertas diferencias producto de diversos factores, de los cuales los más significativos se acreditan a la diferencia entre tener un material completamente conductivo(simulación) y solo tener una fina lamina de plata sobre la superficie(fabricación). Otro gran factor es el hecho de las imperfecciones en las uniones de las piezas ensambladas.



(a) S11



(b) ROE

Figura 11: Reflexión. simulación vs medición

6.2. Propuestas

Para solucionar ciertas diferencias y defectos proponemos cambiar el método de fabricación. Éste podría ser con una CNC la cual moldee las diferentes piezas de encastre y luego de ensamblarlas, soldar las uniones para obtener una mejor interfaz. Estas modificaciones aumentarían el costo de producción pero a su vez se obtendrían mejores resultados además de aumentar la resistente mecánica de la antena agregándole también la posibilidad de manejar mayores potencias.

7. Conclusión

Luego de diversas modificaciones y mediciones se logro obtener una antena de banda ancha entre las frecuencias de 2GHz a 18GHz con una ROE menor a 2. Se superaron con creces los objetivos planeados dando un excedente de 6GHz de ancho de banda además se aprecio una mejora en la adaptación con respecto a las simulaciones como se nota en la Figura (11). Producto del método de fabricación esta antena es ideal para hacer ensayos en instituciones educativas gracias a su bajo costo de producción. Mas adelante este proyecto podría evolucionar con la implementación de las nuevas tecnologías en el área de la impresión 3D, contemplando la posibilidad de remplazar el material ABS con un material conductivo, eliminando de esta manera la necesidad de laminar la antena con una pintura conductiva.